

SNÍŽENÍ OBSAHU KALŮ FLOTACÍ HORKÉ MLADINY VE VÍŘIVÉ KÁDI

Ing. RICHARD GOLDMANN, Starobrno a.s. , Brno
JAROSLAV DOSTÁL, VŠCHT Praha

Klíčová slova : *vířivá kád, flotace, hrubé a jemné kaly*

1. ÚVOD

Ve snaze zvýšit plnící objem CKT se autori zaměřili na snížení obsahu kalů ve spílané mladině. Nižší obsah kalů v zakvašené mladině má nejen vliv na chuťovou stabilitu, zlepšení pivní pěny v důsledku snížení obsahu mastných kyselin, intenzitu kvašení a filtrovatelnost piva, ale také výrazně ovlivňuje výšku kvasné deky, a tím i objem plnění CKT. Studium vířivé kádě [1] a porovnání standardních separačních metod, jako je odstředování a filtrace horké mladiny, usazování, stejně tak jako flotace studené mladiny, kde se maximální účinnost pohybuje podle metody v intervalu od 60 do 80 % [2], vedlo autory k úvaze předradit flotaci usazování horkých kalů. Jako vhodný technologický uzel byl zvolen nástřik horké mladiny do vířivé kádě. K vlastní flotaci dochází smísením čerpané horké mladiny se zchlazenou karbonizovanou mladinou, připravenou v bypassu z hlavního toku. K potlačení nežádoucích Maillardových reakcí byl použit jako nosný plyn oxid uhličitý. Pro novou separační metodu použili autori pojem – *flotace horké mladiny* [3].

2. FLOTACE HORKÉ MLADINY

Navržená metoda využívá efektu, kdy při nižší než vyrážené teplotě mladiny (60–85 °C) se vylučují tříslo-bílkovinné komplexy, které vypadávají z roztoku jako jemně rozptýlené částice. Flotací inertním, ve vodě rozpustným plynem (CO_2), se během nátoku mladiny do vířivé kádě tyto jemné částice vynesou do pěny, která se v důsledku tangenciálního nátoku mladiny soustředí ve středu hladiny. Flotace se dosahuje expanzí CO_2 z podchlazené karbonizované mladiny (4–6 °C, obsah CO_2 5 g/l) v bodě nástřiku do vířivé kádě. Působením obou vlivů – tj. flotací CO_2 a současným snížením teploty rotující mladiny (výsledná teplota mladiny ve vířivé kádi je dána poměrem výkonu vyrážené a podchlazené mladiny) se sníží obsah jemných kalů ve vyrážené mladině o 30–50% .

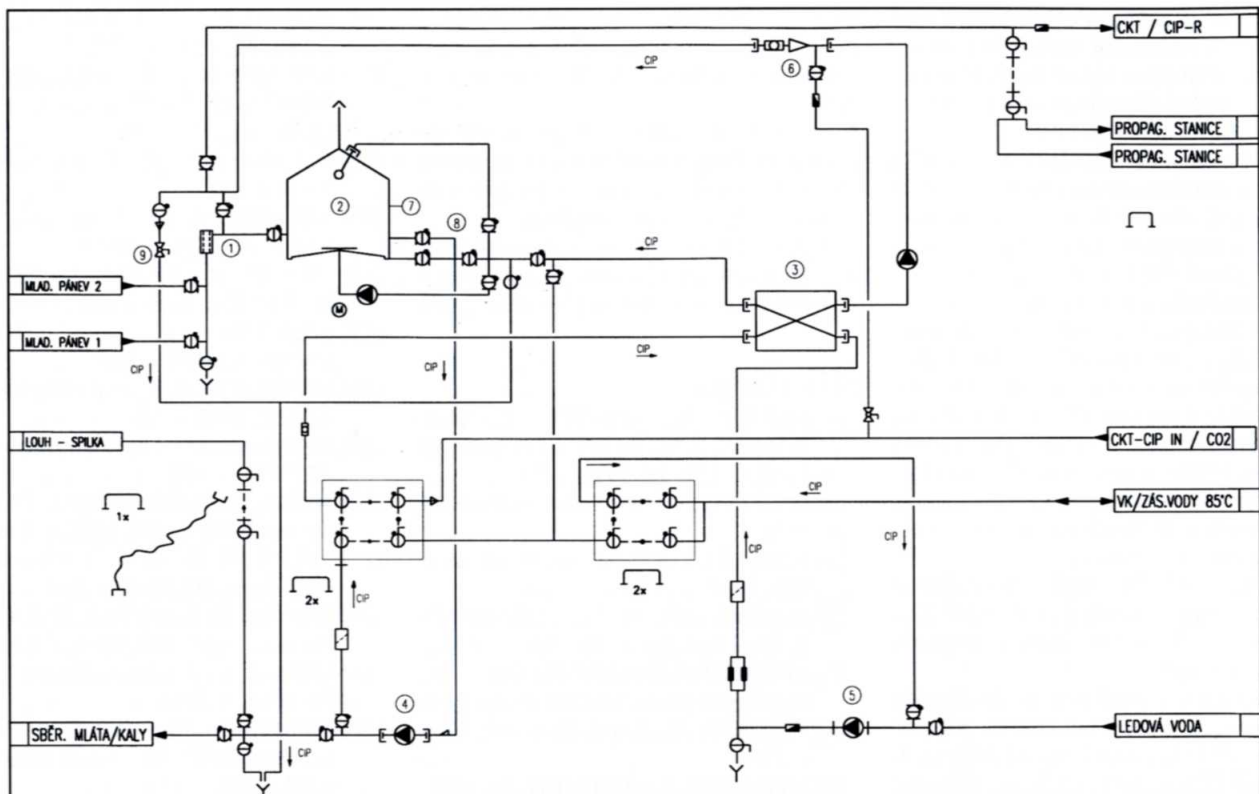
3. POPIS ZAŘÍZENÍ A JEHO FUNKCE

Zařízení na chlazení mladiny (obr. 1) se skládá z ventilů (1) umožňujících nátok horké (96–98 °C) a podchlazené (4–6 °C) mladiny do vířivé kádě (2), jednostupňového chladiče (3), čerpadel mladiny (4) a le-

dové vody (5), Venturiho trubice (6) na sycení podchlazené mladiny inertním plynem (CO_2), sady ventilů a řídícího systému, který zajišťuje následující funkce:

- protláčku horké vody ze systému mladiny
- chlazení mladiny v obchvatu a její sycení CO_2
- nástřik zchlazené a nasycené mladiny do hlavního toku mladiny a expanzi rozpustěného plynu (CO_2)
- dochlazování mladiny ve vířivé kádi na žádanou teplotu
- protláčku mladiny ze systému horkou vodou
- čerpání mladiny přes chladič až do CKT
- výkonově řízené stahování mladiny z vířivé kádě
- automatický výhoz kalů a oplach horkou vodou
- sanitaci celého systému včetně vazeb na cylindrokónické tanky.

Mladina se tangenciálně čerpá do vířivé kádě (2). Po načerpání stanoveného objemu horké mladiny (96–98 °C) – objem je definován zaplavením sondy (7) – se otevře



Obr. 1 Schéma zapojení chlazení mladiny

horní výpusť (8) vířivé kádě a mladina protlačí horkou vodu ze systému přes mladinové čerpadlo (4), mladinovou stranu chladiče (3), Venturiho trubici (6) a škrťicí klapku (9) na kanál. Současně se proti mladině do chladiče (3) – deskový výměník – čerpá ledová voda čerpadlem (5). Výsledkem obou kroků je zchlazení mladiny na teplotu sycení 4–6 °C. Vlastní sycení podchlazené mladiny plynným CO₂ probíhá ve Venturiho trubici (6) následně po protlačení horké vody. Po protlačení horké vody ze systému (definovaný objem) se nastříkuje podchlazená, karbonizovaná mladina do hlavního toku mla-

diny z mladinové pánve. V důsledku vyšší teploty (70–85 °C) dochází k expanzi CO₂ v horké mladině, a tím k uvolnění drobných bublin unášených tangenciálním tokem mladiny ve vířivé ládi (2). Vlivem rotace celého objemu jsou bublinky CO₂ vynášeny spirálovitě směrem k hladině, kde se ve vytvořené pěni soustředí a zachycují jemné kalové částice (jemný kal). Rotující pěna ztrácí během sedimentace dynamiku a koncentrovaný podíl jemných částic se rozpadá nad vrcholem kuželeta horkých kalů. Řízeným stahováním mladiny podle výkonové křivky se podporuje usazení částic, rozptýlených

jak v mladině, tak v pěni, v oblasti středu vířivé kádě (2). Po stažení mladiny se automaticky protlačí mladina horkou vodou a následuje výhoz kalů. Po oplachu vířivé kádě se opět celý systém proplácne horkou vodou tak, aby teplota za chladičem byla vyšší než 72 °C, a tím byla zajištěna jeho sterilita do další várky (obr. 1).

Výkonová křivka pro stahování mladiny je uvedena na obr. 2.

Zvolený minimální výkon umožní stažení i posledních uvolňovaných zbytků mladiny z kuželeta tak, aby nedošlo k jeho trhání a uvolňování kalů do dotahované mladiny.

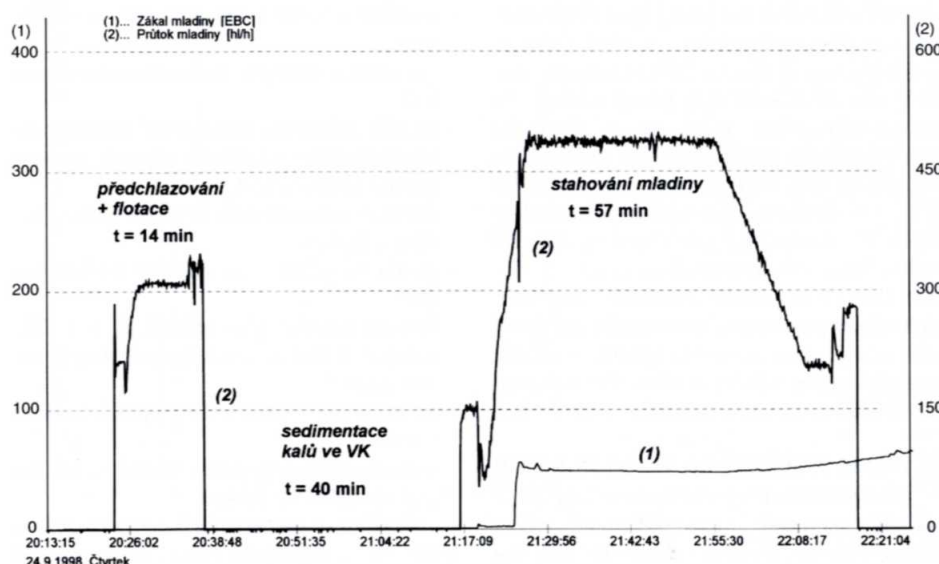
4. EXPERIMENTÁLNÍ ČÁST

4.1 Měření obsahu jemných kalů

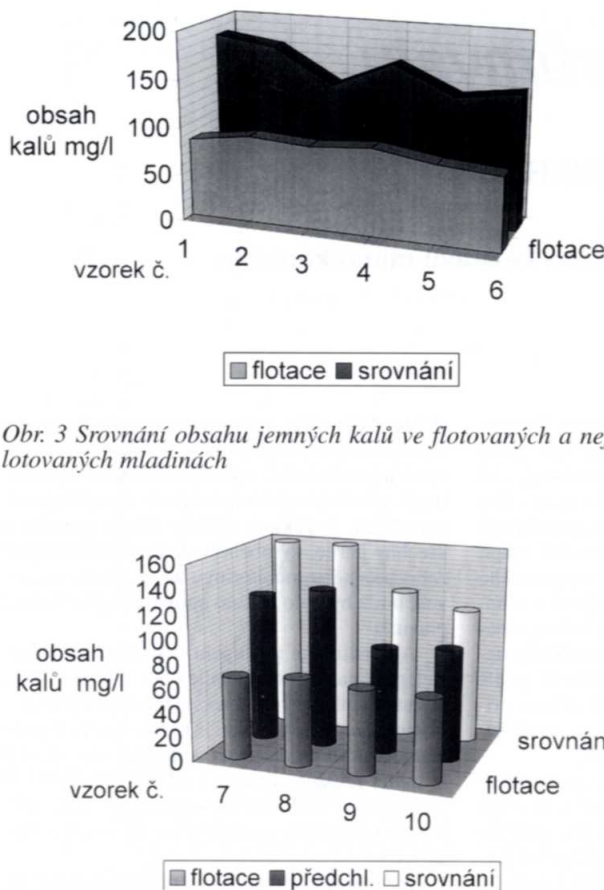
Účinnost flotace horké mladiny byla prověrována měřením obsahu jemných kalů ve spílané 10 % světlé mladině. Měřená mladina byla filtrována přes frity S3 o průměru 50 mm postupem podle Pivovarsko-sladařské analytiky [4].

4.2 Parametry

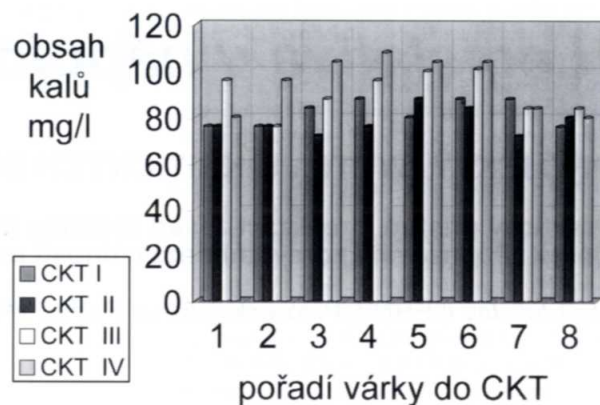
Vzorek byl odebíráno vždy v polovině stahované várky. Objem vyrážených mladin činil cca 425 hl. Mladina byla čerpána do vířivé kádě o celkovém objemu 650 hl a vnitřním průměru 6000 mm. Vířivá kádě v celonerezovém provedení s izolačním pláštěm byla plněna do výšky odpovídající poměru H/D = 0,35. Doba načerpávání činila 25 min, doba stahování max. 65 min. Pro výraznější srovnání byly testovány mladiny bez předchlazování, s předchlazováním



Obr. 2 Výkonová křivka pro stahování mladiny



Obr. 3 Srovnání obsahu jemných kalů ve flotovaných a neflotovaných mladinách



Obr. 5 Porovnání obsahu jemných kalů v mladinách uvařených z různých sladů

Tab. 1 Obsah kalů a rozbor použitého sladu A

| flotace | obsah kalů [mg.l ⁻¹] | rozbor sladu | |
|---------|----------------------------------|------------------------|------------|
| ne | 204 | vláha [%] | 4,1 |
| ne | 196 | extrakt [%] | 80,5 |
| ne | 208 | zukření [min] | 10 |
| ano | 160 | stékání | slabý opál |
| ano | 164 | viskozita [mPas] | 1,537 |
| ano | 157 | rel. extrakt při 45 °C | 35,5 |

Tab. 2 Obsah kalů a rozbor použitého sladu B

| flotace | obsah kalů [mg.l ⁻¹] | rozbor sladu | |
|---------|----------------------------------|------------------------|-------|
| ne | 160 | vláha [%] | 4,2 |
| ne | 124 | extrakt [%] | 81,5 |
| ne | 132 | zukření [min] | 10 |
| ano | 80 | stékání | čiré |
| ano | 68 | viskozita [mPas] | 1,523 |
| ano | 72 | rel. extrakt při 45 °C | 36,8 |

Obr. 4 Srovnání obsahu jemných kalů ve studených mladinách

bez flotace a s flotací. Doba sedimentace byla vždy 40 min. Teplota zchlazené mladin ve vřívě kádi se pohybovala mezi 80–82 °C, sycení mladin podchlazené na 4 °C plynným CO₂ bylo prováděno na koncentraci cca 5 g/l.

5. VÝSLEDKY A DISKUSE

V průběhu tří měsíců byl měřen obsah jemných kalů, zákal v úhlu 90° a barva u várku čerpaných bez i s flotací, resp. bez či s předchlazením. Byl porovnáván vliv ochranné atmosféry CO₂ na rychlosť čiření mladin ve vřívě kádi při různých teplotách sedimentace. Obsah jemných kalů byl dále konfrontován s maximálním plnícím objemem CKT. Teploty hlavního kvašení se pohybovaly v rozmezí 11–12 °C. Jako standard pro hledání optimálních poměrů ve vřívě kádi byla použita metoda stanovující obsah kalů ve spiláné mladině. Pro omezení vlivu nestandardních sladů ze sklizně 1997 se vždy dvě po sobě jdoucí várky, u nichž byla použita stejná technologie, homogenizovaly a stanovovaly vedle sebe jako jeden vzorek.

V čase byly vedle sebe srovnávány vždy mladinu připravené ze stejných sladů původní technologií a technologií doplněnou flotací horké mladin. Na základě výsledků (obr. 3) je patrný trend vyrovnanějšího obsahu jemných kalů v mladinách ošetřených flotací ve vztahu k mladinám čerpaným podle původní technologie.

Pro potvrzení předchozích zjištění se pro-

váděly série pokusů (obr. 4) zahrnujících mladinu čerpanou do vřívě kádi bez jakékoliv změny původní technologie (srovnání), s předchlazením a s flotací. I tyto pokusy potvrdily, že snížení obsahu jemných kalů flotací nezávisí přímo na vstupním zatížení mladin, ale je spíše parametrem soustavy (rychlosť scezování, intenzita chmelovaru).

Nevyrovnanost svařovaných sladů ze sklizně 1997 je znázorněna na týdenním profilu obsahu jemných kalů ve spiláných mladinách (obr. 5).

Pro potvrzení separačních účinků flotace horké mladin byly svařovány slady různé kvality ze sladoven A, B (tab. 1 a tab. 2). Zjištěné obsahy jemných kalů ve studených mladinách potvrdily pozitivní vliv flotace za horka na obsah kalů ve spiláných mladinách. Účinnost snížení hodnoty kalů se pohybovala podle kvality svařovaných sladů od 30 do 50 %. Hodnota obsahu kalů se ustálila při vyrovnaných sladech v pásmu 75–85 mg/l. Díky nižšímu obsahu jemných kalů (původně 120–200 mg/l) bylo možné postupně zvyšovat efektivní plnící objem za kvašené mladinu z původních 2970 hl (82,5 %) na konečných 3110 hl (86,4 %), a to bez použití odpěňovacích prostředků. Současně s poklesem obsahu kalů se zlepšil fyziologický stav kvasnic a jejich sedimen-

tační schopnost. Maximální teplota během hlavního kvašení nepřekročila 11,5 °C. Při stávajícím počtu 10 ks CKT (celkový objem 3600 hl a vnitřní průměr = 5000 mm) pak toto zvýšení představuje v součtu rozšíření kapacity o 1400 hl na jeden kvasný cyklus. Porovnáme-li investiční náklady na zvýšení kapacit výstavbou dalšího CKT (3600 hl), které činí cca 8 mil. Kč a náklady na úpravu jednostupňového chlazení, umožňující flotaci, jež představují cca 0,5 mil. Kč, pak intenzivnější využití stávajících kapacit (10 CKT) dovolí investovat cca 3 mil. Kč do jiných pivovarských technologií.

LITERATURA

- [1] DENK, V.: Brauwelt **137**, 1997, s. 1311.
- [2] EILS, H.-G., HERBERG, W.-D.: Brauwelt **138**, 1998, s. 601.
- [3] Patentová přihláška č. PV 1681–98
- [4] BASAŘOVÁ, G. a kol.: Pivovarsko-sladárská analytika, Praha, 1992, s. 624–626
- [5] DOSTÁL, J.: Optimalizace parametrů vřívě kádi, diplomová práce, VŠCHT, Praha, 1998
- [6] Interní technická dokumentace firmy ESONIC – Chlazení mladin, 1997